

смеси (5) $\alpha = \pm\pi/2$, когда возникает либо непроницаемый барьер ($\alpha = \pi/2$), либо непроницаемая яма ($\alpha = -\pi/2$) (7) [9] и индуцированный кулоновским потенциалом (1) потенциал (7) не выключается при $\lambda \rightarrow 0$ (1) — имеет место явление Клаудера [7].

Падение на дно происходит только при $\alpha = -\pi/2$, когда невырожденный уровень основного состояния проваливается в яму (19), что никак не связано со скрытой симметрией $O(2)$ одномерного кулоновского взаимодействия [3] и осуществляется, например, в поле $V(x) = x^2 + s(s+1)x^{-2}$, $-1/2 < s < 1/2$, $\alpha \rightarrow -\pi/2$ (характеристическое уравнение приведено в [10]).

3) Простой подсчет показывает, что при $\alpha = 0$ $dE_{n+}/d\lambda < 0$, несмотря на конкуренцию потенциалов притяжения (1) и отталкивания (6) при $\alpha = 0$.

Таким образом, нам удалось реабилитировать стандартные положения квантовой механики одномерного финитного движения в четном притягивающем поле в случае кулоновского поля 1 Н.

СПИСОК ЛИТЕРАТУРЫ

- [1] Ландау Л. Д., Лифшиц Е. М. Квантовая механика. М., 1974. [2] Loudon R. // Amer. J. Phys. 1959. 27. P. 649—655. [3] Давтян, Л. С., Погосян Г. С., Сисакян А. Н., Тер-Антонян В. М. Препринт ОИЯИ Р-2-86-393. Дубна, 1986. [4] Винницкий С. И., Погосян Г. С., Сисакян А. Н., Тер-Антонян В. М. Сообщение ОИЯИ Р-2-86-571. Дубна, 1986. [5] Гольдбергер М., Ватсон К. Теория столкновений. М., 1967. С. 238. [6] Гостев В. Б., Минеев В. С., Френкин А. Р. // ТМФ. 1987. 70. С. 341—353. [7] Klauder J. // Acta Phys. Austr. Supp. 1973. 11. P. 341—387. [8] Бейтмен Г., Эрдейи А. Высшие трансцендентные функции. М., 1973. Т. 1. [9] Гостев В. Б., Френкин А. Р. // Вестн. Моск. ун-та. Сер. 3, Физ. Астрон. 1987. 28, № 3. С. 85—87. [10] Гостев В. Б., Минеев В. С., Френкин А. Р. // ТМФ. 1986. 68. С. 45—57.

Поступила в редакцию
19.01.87

ВЕСТН. МОСК. УН-ТА. СЕР. 3, ФИЗИКА. АСТРОНОМИЯ. 1987. Т. 28, № 5

РАДИОФИЗИКА

УДК 621.385

ЛИНЕЙНАЯ ТЕОРИЯ ПРОДОЛЬНОГО ВЗАИМОДЕЙСТВИЯ РЕЛЯТИВИСТСКОГО ЭЛЕКТРОННОГО ПОТОКА С ПОВЕРХНОСТНЫМИ ВОЛНАМИ ПЕРИОДИЧЕСКИХ СТРУКТУР

В. И. Канавец, А. И. Слепков, А. В. Федоров, В. А. Черепенин

(кафедра радиофизики СВЧ)

Построена линейная теория продольного взаимодействия релятивистского электронного потока с дифракционным полем открытых периодических структур в режиме возбуждения поверхностных волн. Показано, что в данном случае возрастание амплитуд дифракционных гармоник вблизи аномалии Вуда соответствует черенковскому резонансу электронов с поверхностной волной.

В работе рассмотрены особенности возбуждения поверхностных волн ленточным релятивистским потоком электронов, пролетающих над плоской идеально проводящей дифракционной решеткой прямоугольного профиля (рис. 1). Период решетки l , ширина щели d , высота зубца h . Длина решетки в продольном (ось Oy) направлении L , в поперечном направлении (ось Ox) система бесконечна; расстояние до потока b , толщина потока много меньше b . Рассматривается продольное взаимодействие потока и поля на фиксированной частоте ω , зависимость всех физических величин от времени t принимается в виде $e^{-i\omega t}$.

Продольная компонента линейной плотности тока на частоте ω задается выражением:

$$j = (j^{(+)} e^{-i\beta_q y} + j^{(-)} e^{i\beta_q y}) e^{i\beta_e y}, \quad (1)$$

где β_e и β_q — электронная и редуцированная плазменные постоянные распространения, $\beta_e = \omega/v_0$, v_0 — постоянная составляющая скорости потока, $j^{(+)}$ и $j^{(-)}$ — комплексные амплитуды тока, медленно меняющиеся вдоль оси Oy и относящиеся к быстрой и медленной волнам пространственного заряда. Поле тока (1), дифрагированное на решетке, представляется как суперпозиция пространственных гармоник в следующем виде:

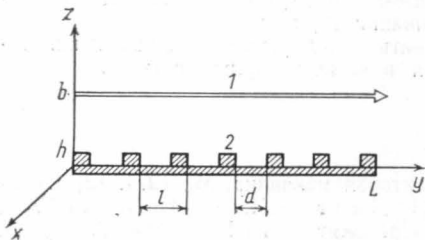


Рис. 1. Общий вид рассматриваемой системы: 1 — электронный поток, 2 — периодическая структура (дифракционная решетка)

$$H_x = H_x^{(+)} + H_x^{(-)}, \quad E_y = \frac{ic}{\omega} \frac{\partial H_x}{\partial z},$$

$$E_z = \frac{c}{i\omega} \frac{\partial H_x}{\partial y},$$

$$H_y = H_z = E_x = 0,$$

$$H_x^{(+)} = \sum_{n=-\infty}^{\infty} H_{xn}^{(\pm)} \exp\{p_n^{(\pm)}(z-h)\} \times \exp\{i\beta_n y\},$$

$$\beta_n^{(\pm)} = \beta_e \mp \beta_q + \frac{2\pi n}{l}, \quad p_n^{(\pm)} = i \sqrt{\left(\frac{\omega}{c}\right)^2 - \beta^{(\pm)2}},$$

комплексные амплитуды $H_{xn}^{(\pm)}$ находятся по методу [1]. Рассматривается режим, когда в спектре дифракционных гармоник присутствуют только поверхностные волны, т. е. $\text{Im } p_n^{(\pm)} = 0$ для любых n .

Движение электронов описывается в рамках линейной теории с помощью волн пространственного заряда [2]. Быстрая a_+ и медленная a_- волны пространственного заряда возбуждаются продольной электрической компонентой E_y дифракционного поля:

$$\left\{ \frac{d}{dy} - i(\beta_e \mp \beta_q) \right\} a_{\pm} = \frac{e}{2\sqrt{Z}} E_y, \quad (2)$$

$$a_{\pm} = \frac{1}{2\sqrt{Z}} (\mathcal{E} \pm Zj), \quad \mathcal{E} = \frac{mv_0 v}{\left(1 - \frac{v_0^2}{c^2}\right)^{\frac{3}{2}}}, \quad \beta_q = R\beta_p,$$

$$\beta_p = \frac{1}{v_0} \left(\frac{4\pi e \rho_0}{m}\right)^{\frac{1}{2}} \left(1 - \frac{v_0^2}{c^2}\right)^{\frac{3}{4}}, \quad Z = \frac{4\pi|e|}{\omega\beta_p} R,$$

где e и m — заряд и масса покоя электрона, ρ_0 — постоянная составляющая плотности заряда потока, v — переменная составляющая скорости потока, R — коэффициент редуциции. Решение уравнений (2) при известном распределении $E_y(y)$ и однородных граничных условиях для a_{\pm} позволяет найти медленно меняющиеся амплитуды тока $j^{(+)}$ и $j^{(-)}$.

Характеристики самосогласованного взаимодействия потока и поля определяются при последовательном решении на ЭВМ уравнений движения и задачи дифракции поля потока на периодической структуре. Начальным условием такой итерационной схемы является режим заданного поля $H_{xn}^{(\pm)}(y) = \text{const}$, условием окончания — установление распределения дифракционного поля вдоль структуры. Для завершившейся итерационной процедуры закон сохранения энергии записывается в виде

$$\frac{1}{|e|} (|a_+|^2 - |a_-|^2) \Big|_{y=0}^{y=L} + \frac{c}{4\pi} \text{Re} \int_h^{\infty} E_z H_x^* \Big|_{y=0}^{y=L} dz = 0.$$

Для достижения хорошей точности при решении задачи дифракции учитывается по 15 гармоник каждого из рядов $H_x^{(+)}$ и $H_x^{(-)}$, при этом время счета на БЭСМ-6 не превышает 6 мин.

Методика позволяет, не решая дисперсионного уравнения, определить частоту $\omega_{рез}$ резонансного взаимодействия потока и поля. Критерием этого может служить, например, увеличение инкремента нарастания в системе или уменьшение пускового тока при переборке по частоте ω для фиксированного значения скорости потока v_0 . Расчеты, проведенные при различных v_0 , дают возможность построить зависимость $\omega_{рез}$ от продольного волнового числа β . Этот график для случая малого пространственного заряда, т. е. $\beta_q \ll \beta_e$, представлен на рис. 2 на плоскости (ζ, ξ) , где $\xi =$

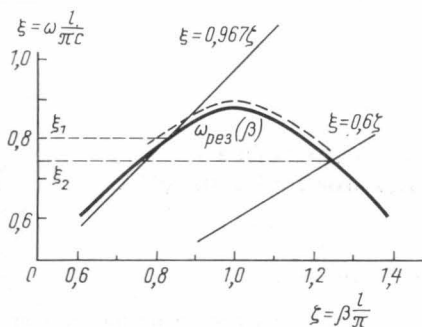


Рис. 2. Зависимость резонансной частоты $\omega_{рез}$ от продольного волнового числа β в координатах (ζ, ξ) , полученная при параметрах структуры $l=1,5$ см, $d=1,0$ см, $h=0,3$ см. Пунктиром показана дисперсионная характеристика моды E_{01} диафрагмированного волновода

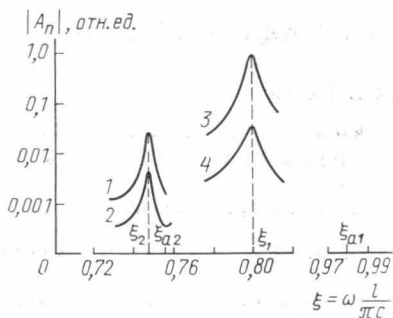


Рис. 3. Зависимость модуля амплитуд дифракционных гармоник от приведенной частоты ξ для двух значений скорости v_0 : 1 и 2 — соответственно 1-я и нулевая гармоники при $v_0=0,6$ с; 3 — нулевая гармоника при $v_0=0,967$ с, 4 — 1-я гармоника при $v_0=0,967$ с, ξ_{a1} и ξ_{a2} — приведенные частоты, соответствующие аномалиям Вуда для двух значений скорости v_0

$=\beta l/\pi$, $\xi = \omega l/\pi c$. Точка резонансного взаимодействия дифракционного поля и потока определяется пересечением зависимости $\xi_{рез}(\zeta)$ с прямой $\xi = (v_0/c)\zeta$.

Зависимость $\omega_{рез}(\beta)$ определяется единственным образом для заданного набора параметров структуры l, d, h и свидетельствует о наличии механизма фиксации частоты в рассматриваемой системе. В открытых структурах этот механизм имеет дифракционную природу и связан с возрастанием амплитуд дифракционных гармоник вблизи аномалии Вуда [3]. Аномальное возрастание амплитуд в данном случае можно интерпретировать как черенковский резонанс электронов с поверхностью волной.

На рис. 3 представлена зависимость модуля амплитуд $|A_n|$ дифракционных гармоник для ξ для всех значений v_0 . При скорости потока $v_0=0,967$ с дифракционная гармоника с номером $n=0$, синхронная с потоком, превышает по амплитуде все остальные гармоники и дает основной вклад в продольное взаимодействие с потоком. Ее максимум выделяет резонансную приведенную частоту ξ_1 . Такая ситуация характерна для нарастающей ветви графика $\omega_{рез}(\beta)$ (режим ЛБВ). Его спадающая ветвь определяется взаимодействием потока с обратной волной — дифракционной гармоникой с номером $n=-1$, распространяющейся в направлении, обратном к движению потока (режим ЛОВ). Выделение соответствующей резонансной приведенной частоты ξ_2 иллюстрируется рис. 3.

В заключение отметим, что дисперсионные характеристики мод диафрагмированного волновода, рассчитанные традиционным для СВЧ методом [4], в пределе $D \gg \lambda$, где D — диаметр волновода, $\lambda = (2\pi/\omega)c$, располагаются несколько выше зависимости $\omega_{рез}(\beta)$. Дисперсионная кривая для моды E_{01} , показанная пунктиром на рис. 2, получена при $D=5\lambda$. Такое смещение линий соответствует учету влияния в методе [4] конечного значения диаметра волновода.

СПИСОК ЛИТЕРАТУРЫ

[1] Шестопапов В. П., Литвиненко Л. Н., Масалов С. А., Сологуб В. Г. Дифракция волн на решетках. Харьков, 1973. [2] Люиселл У. Связанные и параметрические колебания в электронике. М., 1963. [3] Шестопапов В. П. Дифракционная электроника. Харьков, 1976. [4] Тараненко З. И., Трохименко Я. К. Замедляющие системы. Киев, 1965.

Поступила в редакцию
14.11.86

ВЕСТН. МОСК. УН-ТА. СЕР. 3, ФИЗИКА. АСТРОНОМИЯ. 1987. Т. 28, № 5

ОПТИКА И СПЕКТРОСКОПИЯ

УДК 621.378.325

ВЛИЯНИЕ ФАЗОВЫХ ФЛУКТУАЦИЙ НА ПАРАМЕТРЫ ОПТИЧЕСКИХ СОЛИТОНОВ В ВОЛОКОННЫХ СВЕТОВОДАХ

А. В. Иванов, А. Н. Матвеев

(кафедра общей физики для физического факультета)

Аналитически и численно исследуется динамика распространения огибающей оптического импульса пикосекундной длительности в волоконном световоде. На основе метода обратной задачи рассмотрено влияние фазового шума на параметры солитонов в дальней зоне световода. Анализируются статистические характеристики ансамбля солитонов.

Динамика распространения огибающей оптического импульса пикосекундной длительности в волоконном световоде описывается задачей Коши для нелинейного уравнения Шрёдингера:

$$iq_z = q_{\tau\tau}/2 + |q|^2 q, \quad q(\tau, 0) = q_0(\tau). \quad (1)$$

Здесь $z = L/L_d$, $\tau = (t - v_g^{-1}L)/\tau_n$, $q = (L_d/L_{nl})^{1/2} \cdot [A(\tau, z)/I_0^{1/2}]$ — безразмерные переменные, $v_g = (k'_\omega)^{-1}$ — групповая скорость, τ_n — длительность импульса, I_0 — эффективная интенсивность, $A(\tau, z)$ — медленно меняющаяся огибающая импульса, а $L_d = \tau_n/k''_{\omega_2}$, $L_{nl} = (k\tilde{n}_2 I_0)^{-1}$ — соответственно дисперсионная и нелинейная длины.

Известно, что на расстояниях порядка нескольких дисперсионных длин (что составляет для рассматриваемого диапазона длительностей величину от нескольких десятков сантиметров до десятков метров [1]) исходный сигнал асимптотически стремится к состоянию, характерному для дискретного солитонного спектра [2]. Представляет интерес, таким образом, исследование параметров солитонных составляющих исходного импульса в дальней зоне световода ($z \gg 1$). Ограничимся рассмотрением класса начальных данных, для которых асимптотика решения (1) представляет собой односолитонный импульс:

$$q^s(\tau, z) = \kappa \exp(-i v \tau - i(v^2 - \kappa^2)z/2 + i\phi) \operatorname{ch}^{-1} \kappa(\tau - \tau_c - v z), \quad (2)$$

κ , v , ϕ , τ_c — формфактор, скорость, фаза и координата центра солитона соответственно. Для анализа асимптотической стабилизации наиболее эффективным оказывается использование известного метода обратной задачи рассеяния (МОЗР) [2, 3], основанного на особой симметрии уравнения (1).

Важным частным случаем начальных условий является сигнал, испытывавший случайную фазовую модуляцию вида [4–6]

$$q_0(\tau) = \operatorname{ch}^{-1} \tau \cdot \exp(i\theta(\tau)), \quad (3)$$

где $\theta(\tau)$ — случайный процесс (в дальнейшем будем называть его шумом) с временем корреляции τ_n .

В настоящей работе предлагается основанный на МОЗР метод расчета параметров солитонов дальней зоны для фазово-модулированных импульсов типа (3). Численные расчеты сравниваются с аналитическими результатами, полученными на основе первого порядка теории возмущений МОЗР.